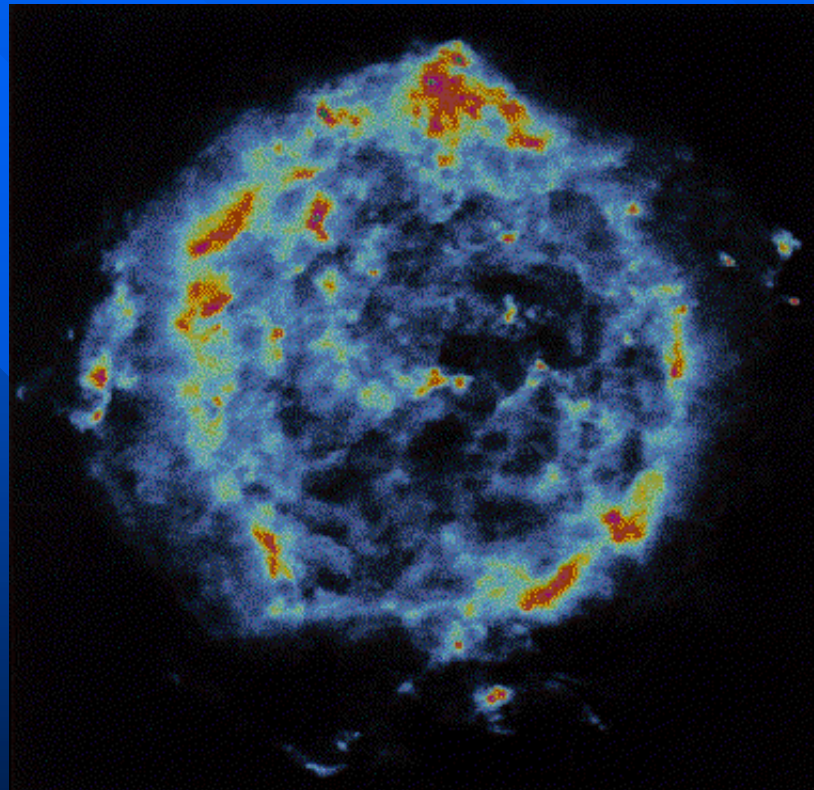


# SNLS : Simulation, Efficacité et Biais de Sélection



Pascal Ripoche  
Septembre 2006

# Sommaire

- Un peu de cosmologie
- SNLS
- La Simulation dans SNLS
- Efficacité et Taux
- Biais et Contamination
- Conclusion

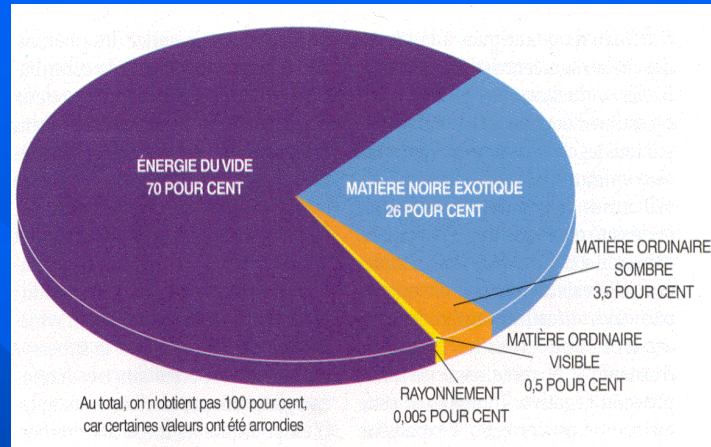
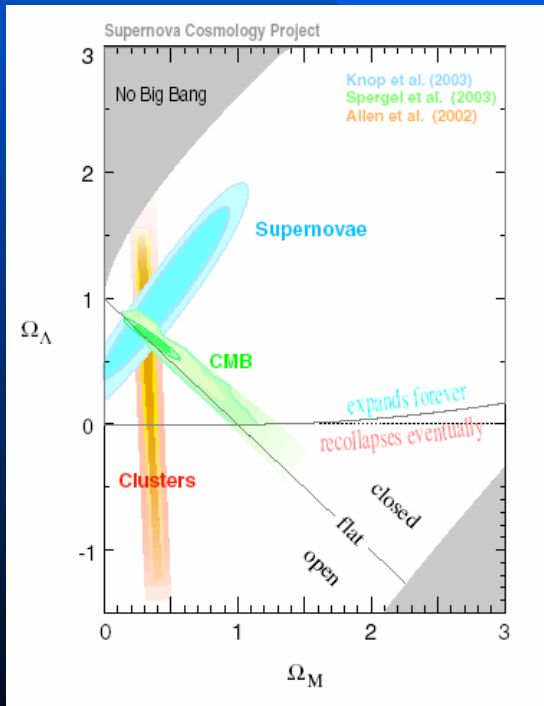
# Problématique

$$\Omega = 1,02 \pm 0,02$$

(WMAP, Spergel et al., 2003)

Les contributions :

- $\Omega_M = 0,27 \pm 0,04$
- $\Omega_X = 0,73 \pm 0,04$



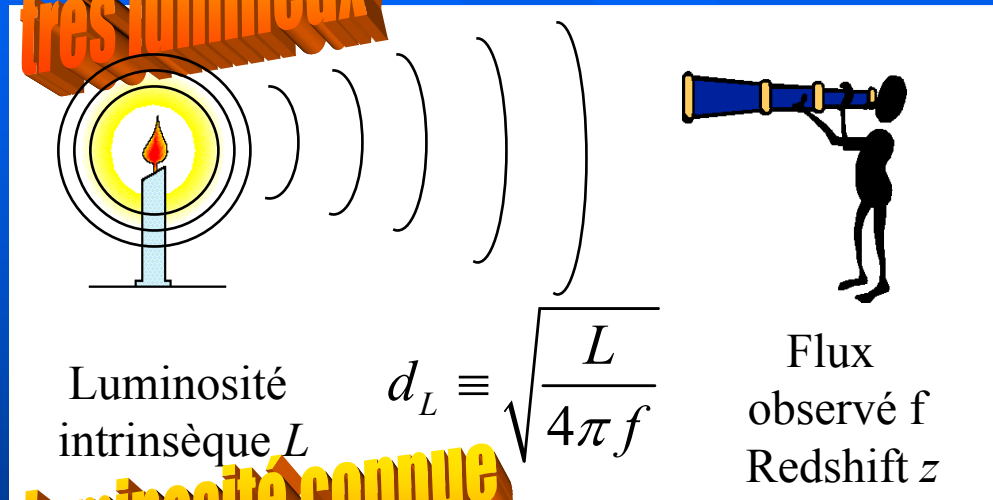
$\Omega_X$  : constante cosmologique et/ou énergie noire?

modèle	$\omega = P/\rho$
Constante Cosmologique	-1
Quintessence	$\frac{1/2\dot{\phi}^2 - V(\phi)}{1/2\dot{\phi}^2 + V(\phi)}$

Utiliser les supernovae pour mesurer  $\Omega_X$  et  $w_X$

# Paramètres cosmologiques, distance lumineuse

Objets lointains  
très lumineux



de luminosité connue

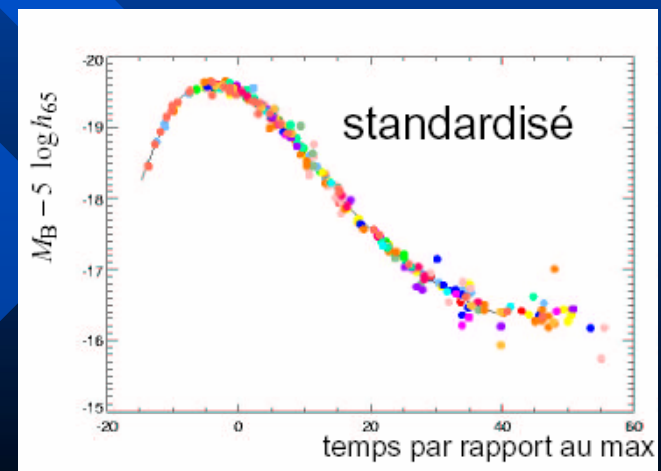
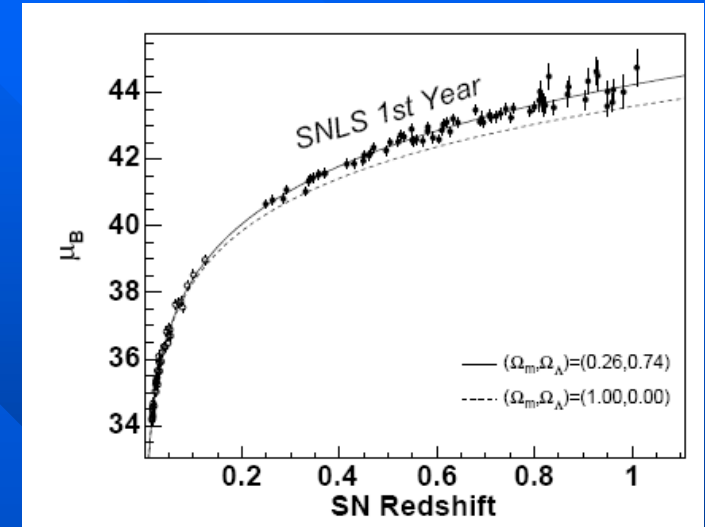
$$mag = -2,5 \cdot \log \frac{f}{f_0} = const(H_0) + \beta \log(H_0 d_L(z, \Omega_i, \omega_i))$$

## Supernovae de type Ia

-très forte luminosité ( $10^{34}$ W)

-chandelles standards (dispersion : 40 %)

Correction de stretch  $\Rightarrow 15 \%$



# L'expérience SuperNovae Legacy Survey

## ■ Collaboration

- France (IN2P3, CEA, INSU)
- Canada
- ...

## ■ Buts

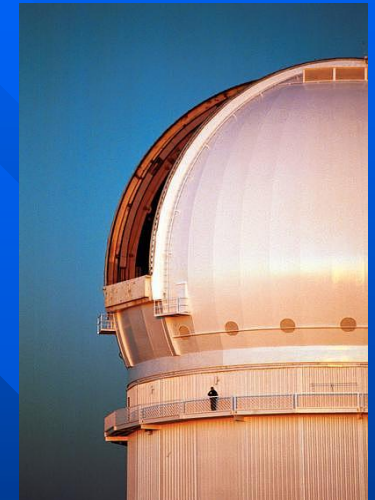
- Mesure des paramètres cosmologiques et de l'**équation d'état de l'énergie noire**
  - » 1000 supernovae détectées
  - » 500 supernovae Ia spectrées
- Étude supernovae
  - » Mesure du taux de supernovae en fonction du type et de la morphologie des galaxies hôtes
  - » Evolution?

# Stratégie de Recherche

Suivi de 4 champs d'un degré carré chacun pendant 5 ans (18 nuits par période sombres, 6 mois )

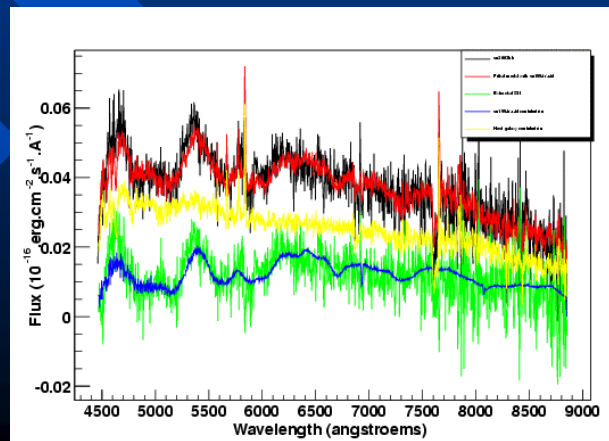
## Detection

- Télescope : CFHT (Hawaï)
- Camera : megacam (36 CCDs & 240 Mpixels)
- 4 filtres : g(15'), r(30'), i(1h), et z(30')
- Méthodes : Rolling Search et soustraction d'image



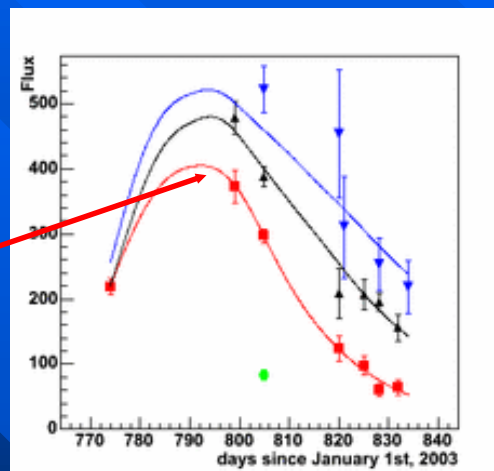
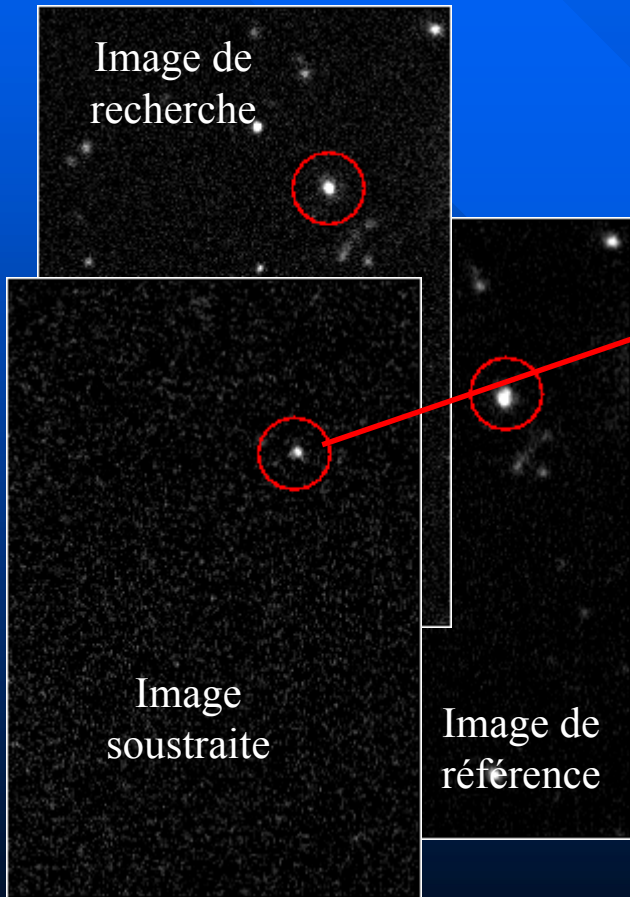
## Identification par spectroscopie jusqu'à $z = 0.9$

- Télescopes: VLT, Gemini, Keck et Magellan
- Mesure de  $z$
- Détermination de la nature de la SN



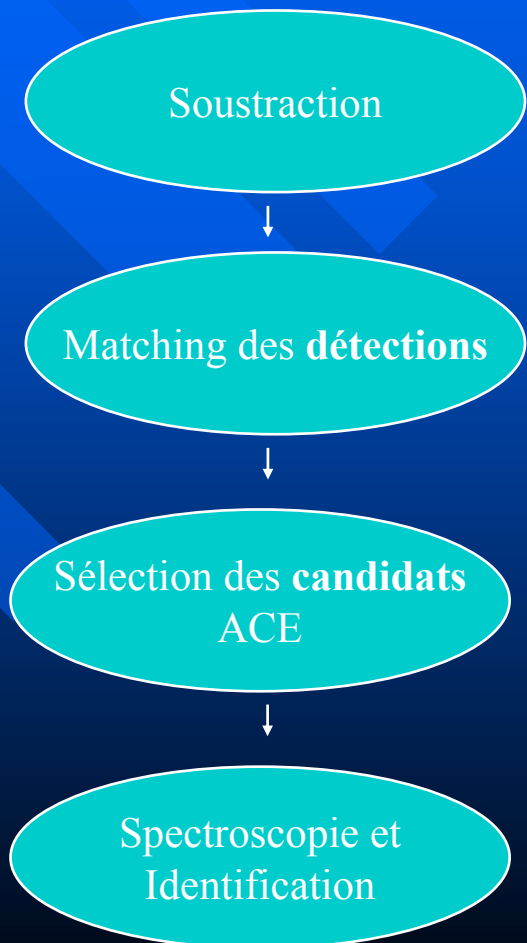
# Soustraction d'image & Rolling Search

Prise de données (images) tout les 3 à 4 jours dans les périodes sombres



Paramètres de sélection des candidats :

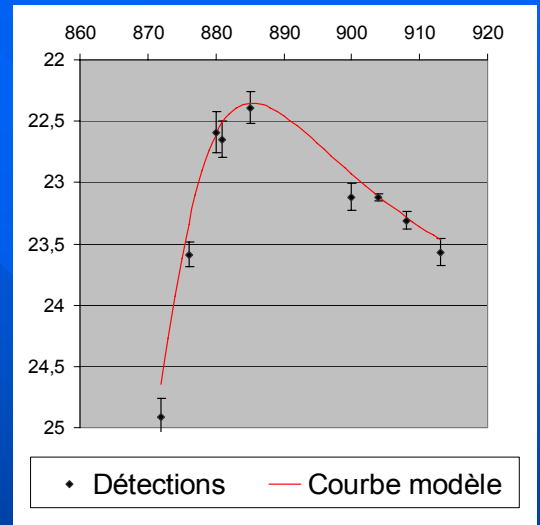
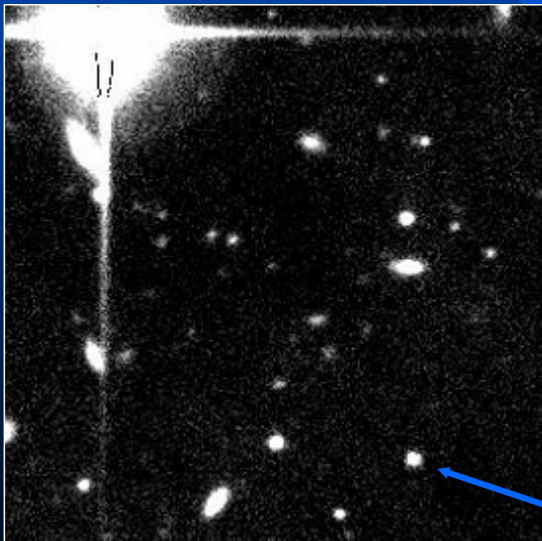
Nombre de détections  
Magnitude minimale  
Fit de la courbe de lumière  
Couleurs relatives



# Simulation(1)

Pourquoi une simulation :

- Optimisation de la chaîne de détection
- Automatisation de la sélection des candidats
- Étude des biais de sélection
- Étude de l'efficacité de détection
- Mesure du taux d'explosion
- Reprocessing des images



Comment :

- Utilisation de courbe de lumière modèle
- Simulation sur images réelles
- Pipeline de détection

# Simulation(2)

Quelques chiffres pour 1 champ et 1 saison :

- 72 000 supernovae => 288 000 courbes de lumières
- 15 000 images
- 4 000 000 détections à traiter
- 1,5 Tbytes d'image à traiter

The screenshot shows a software interface titled "SNLS Database Manager". The main window displays a table with columns: Sub\_Id, Simulation\_Path, Field, CCD, Date, and Band. The table contains approximately 20 rows of data, each corresponding to a different sub-id and its associated simulation path, field, CCD number, date, and band. The interface includes a toolbar at the top with various icons for file operations like quit, refresh, and new table. Below the toolbar is a menu bar with File, Tables, and Scripts. At the bottom, there are two input fields: "SQL Selection string:" and "Direct SQL command:", both with "Apply" and "Cancel" buttons.

Sub_Id	Simulation_Path	Field	CCD	Date	Band
11916	/sps/snls10/MC/D4_02/04/2004-12-05/sub/ccd_32	4	32	53345	i
11917	/sps/snls10/MC/D4_02/04/2004-12-05/sub/ccd_33	4	33	53345	i
11918	/sps/snls10/MC/D4_02/04/2004-12-05/sub/ccd_34	4	34	53345	i
11919	/sps/snls10/MC/D4_02/04/2004-12-05/sub/ccd_35	4	35	53345	i
11920	/sps/snls10/MC/D4_02/04/2004-12-10/sub/ccd_09	4	9	53350	r
11921	/sps/snls10/MC/D4_02/04/2004-12-10/sub/ccd_10	4	10	53350	r
11922	/sps/snls10/MC/D4_02/04/2004-12-10/sub/ccd_11	4	11	53350	r
11923	/sps/snls10/MC/D4_02/04/2004-12-10/sub/ccd_12	4	12	53350	r
11924	/sps/snls10/MC/D4_02/04/2004-12-10/sub/ccd_13	4	13	53350	r
11925	/sps/snls10/MC/D4_02/04/2004-12-10/sub/ccd_14	4	14	53350	r
11926	/sps/snls10/MC/D4_02/04/2004-12-10/sub/ccd_15	4	15	53350	r
11927	/sps/snls10/MC/D4_02/04/2004-12-10/sub/ccd_16	4	16	53350	r
11928	/sps/snls10/MC/D4_02/04/2004-12-10/sub/ccd_17	4	17	53350	r
11929	/sps/snls10/MC/D4_02/04/2004-12-10/sub/ccd_27	4	27	53350	r
11930	/sps/snls10/MC/D4_02/04/2004-12-10/sub/ccd_28	4	28	53350	r
11931	/sps/snls10/MC/D4_02/04/2004-12-10/sub/ccd_29	4	29	53350	r
11932	/sps/snls10/MC/D4_02/04/2004-12-10/sub/ccd_30	4	30	53350	r
11933	/sps/snls10/MC/D4_02/04/2004-12-10/sub/ccd_31	4	31	53350	r
11934	/sps/snls10/MC/D4_02/04/2004-12-10/sub/ccd_32	4	32	53350	r
11935	/sps/snls10/MC/D4_02/04/2004-12-10/sub/ccd_33	4	33	53350	r
11936	/sps/snls10/MC/D4_02/04/2004-12-10/sub/ccd_34	4	34	53350	r
11937	/sps/snls10/MC/D4_02/04/2004-12-10/sub/ccd_35	4	35	53350	r

Les outils de production :

- Suivi de la production via une base de données SQL
- Production automatisée
- Outils d'analyse implémenté en C++ et ROOT

# Tirage des Supernovae : Coordonnées/Redshift

- Adaptation galaxie  $\Leftrightarrow$  supernova
- Création d'un catalogue de galaxies hôte
  - Catalogue de redshift photométrique CFHT
  - Matching avec image profonde et récupération des paramètres de forme
- Tirage des coordonnées
  - Sélection d'une galaxie hôte  $\Rightarrow$  Redshift
  - Tirage des coordonnées de la supernovae en fonction des paramètres de forme
- Calcul de la densité de poussière



North galactic dust map  
David Schlegel, april 1999

# Tirage des Supernovae : Paramètres du modèle

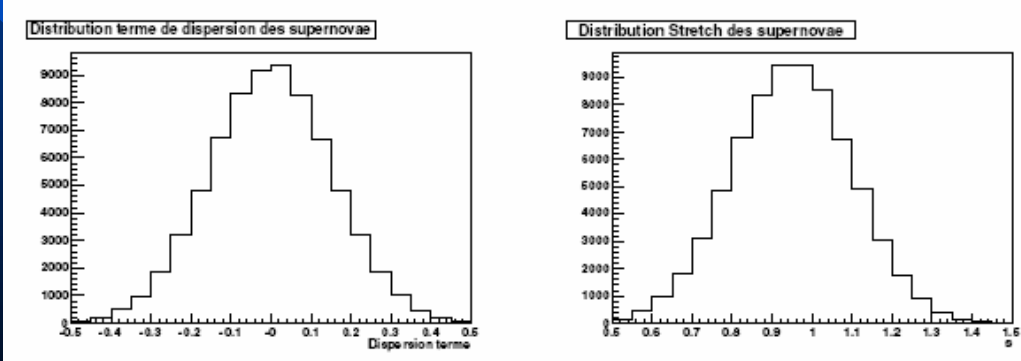
Modèle SALT

Paramètre des supernovae :

- Ra/Dec coordinates
- z : Redshift
- MW\_E(B-V) : Milkyway extinction
- MW\_Rv : Milkyway extinction correction term
- D0: Date of Max
- s : Stretch
- $\infty$  : stretch correction
- c : SALT color tem
- $\beta$  : Salt color correction term
- E(B-V) : host galaxy extinction
- Rv : Cardelly's correction term
- disp : intrinsec dispersion term

Parameter	Type	min/mean	max/sigma
z	flat	0.2	1.2
s	Gauss	0.95	0.15
alpha	const	1.4	nan
c	flat	-0.2	0.4
beta	const	2.3	nan
E(B-V)	const	0	nan
Rv	const	0	nan
Disp	Gauss	0	0.153

Table 2: Used randomization values



# Simulation des courbes de lumiere

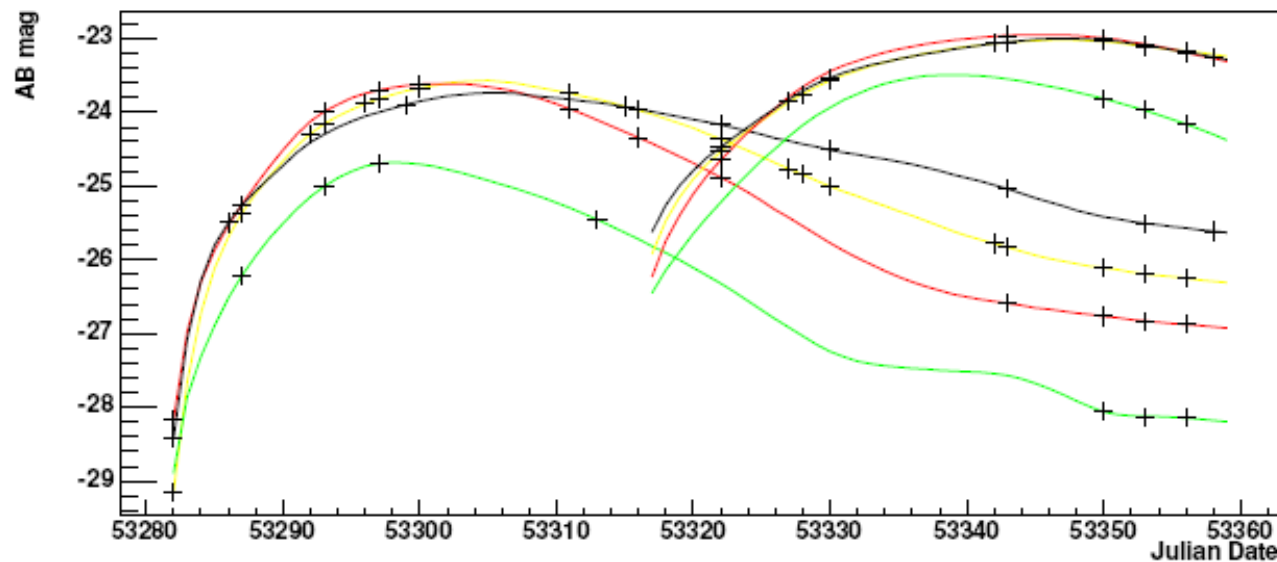


Figure 6: Examples of simulated lightcurves for  $z = 0.44$  and  $z = 0.58$ ; yellow, red, green and black are respectively i, r, g and z filters. Markers are points which will be added to images.

Courbe de lumière simulées avec le modèle SALT

# Ajout sur image

- Supernovae  $\Leftrightarrow$  objet ponctuel  $\Leftrightarrow$  étoile
- Fit de la PSF (Point Spread Function)
  - Fit de la PSF moyenne
  - Fit des variations des paramètres de PSF dans le champs
- Ajout des supernovae

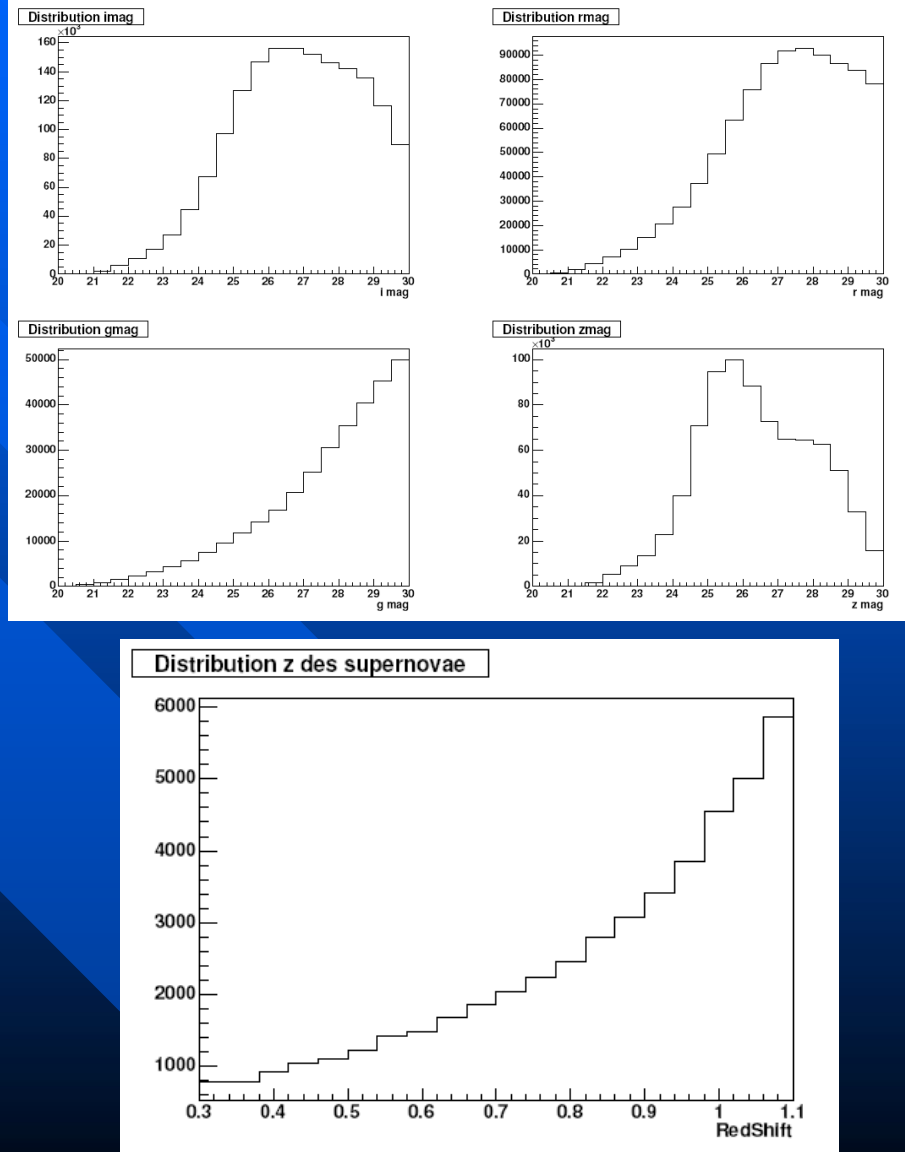
# Test de la Simulation

## ■ Images:

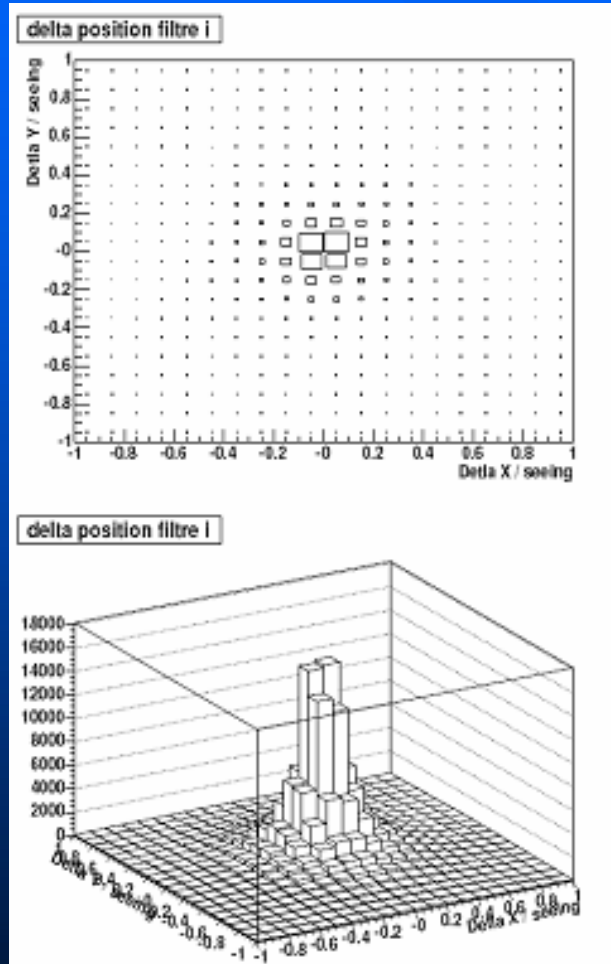
- D1, saison 2
- 23 000 images
- 71192 SN simulées (2000/ccd)

## ■ Données :

- Images soustraites avec une référence profonde de la saison 1
- 3 701 445 points simules
- Détections mises en correspondance avec les points simules



# Test de Positionnement



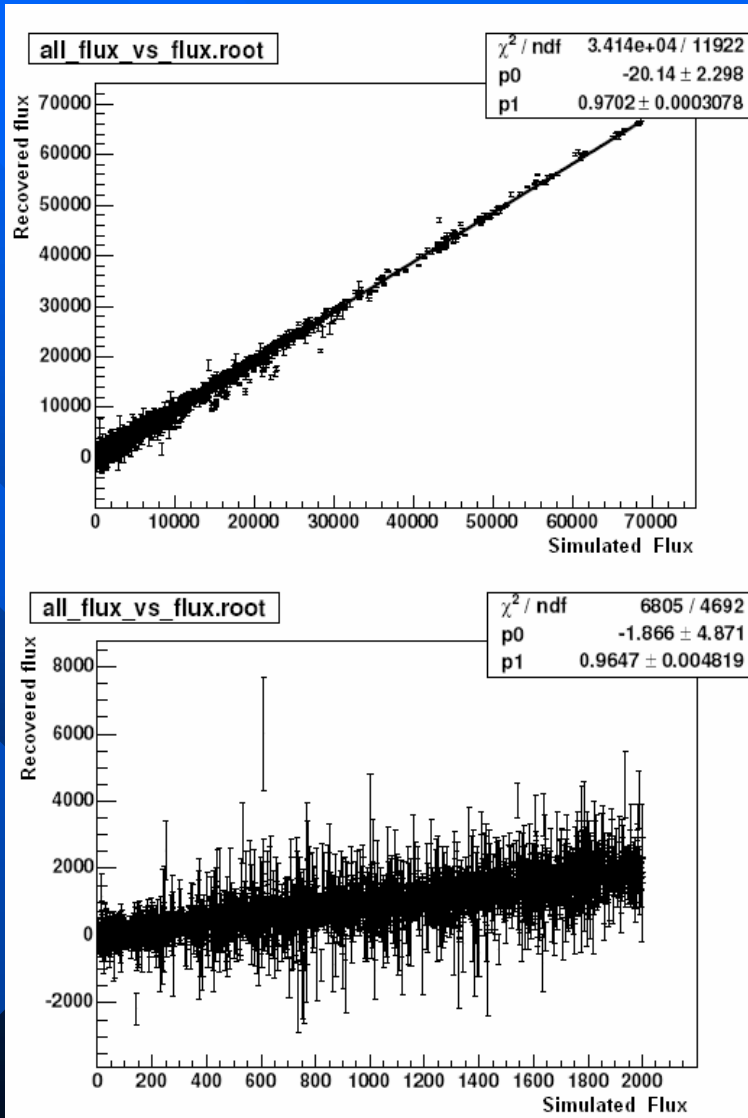
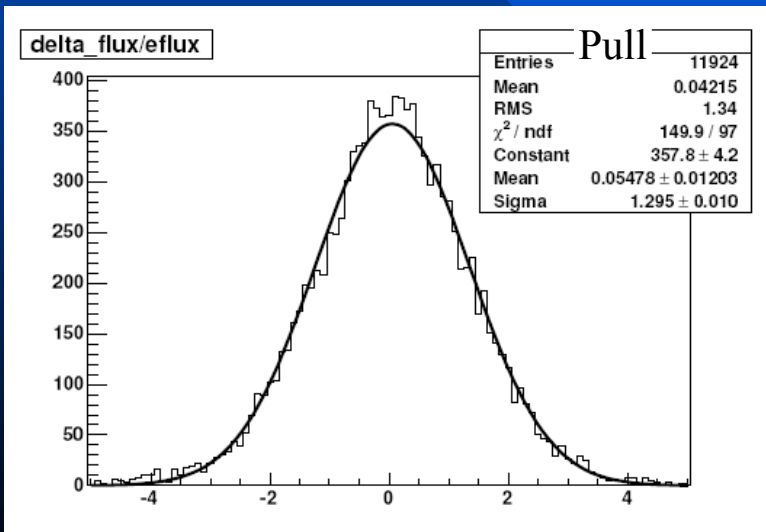
- Bon taux de récupération pour S/N 5
- Précision 0,1 seeing
- Pas de décalage significatif
- Pas de biais attendu : précision << distance d association ( 3 pixels)

Seeing = 1 sigma = 1.3 to 3.0 pixels

# Test de photométrie

## Photométrie sur images alignées avant soustraction

- 97% du flux est retrouvé  
→ les bords de la psf ne sont pas ajoutés
- Test de dispersion : légers excès 1.29 (1.25 attendu du fait de la corrélation entre pixels) principalement en i et z (frange)



# Efficacité

## ■ Paramètres étudiés :

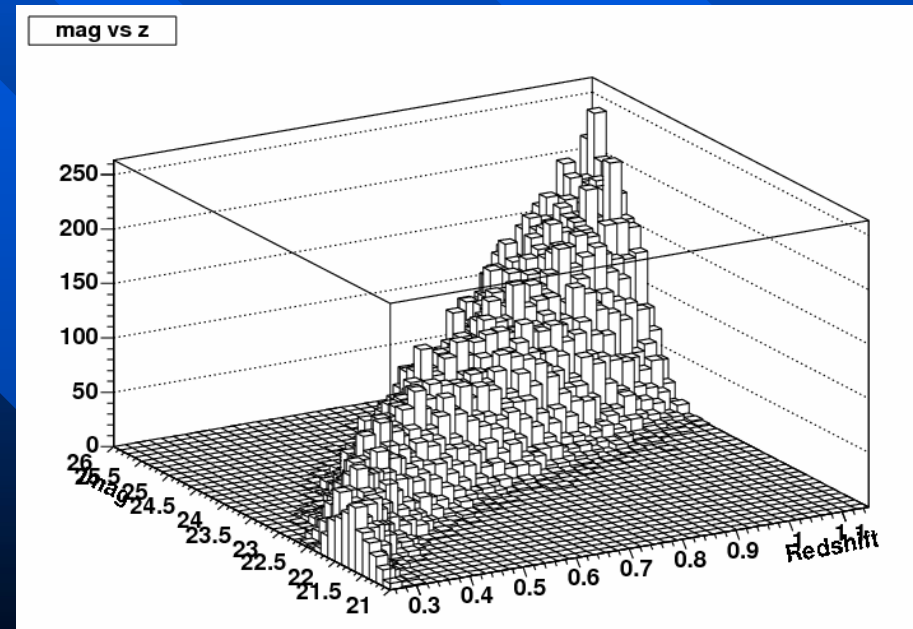
- Imag : Magnitude max dans le filtre  $i'$
- %Inc : flux max  $i'$  / background flux (estimateur de contrast)
- D0 : Date du max
- Redshift
- Position

## ■ Données :

- Saison 2 Champ D1
- 72000 SNe simulées

Parameter	Type	min/mean	max/sigma
z	flat	0.2	1.2
s	Gauss	0.95	0.15
alpha	const	1.4	nan
c	flat	-0.2	0.4
beta	const	2.3	nan
E(B-V)	const	0	nan
Rv	const	0	nan
Disp	Gauss	0	0.153

Table 2: Used randomization values



# Efficacité de détection d'un point simulé

Efficacité de détection d'un point simulé : on considère chaque point indépendamment

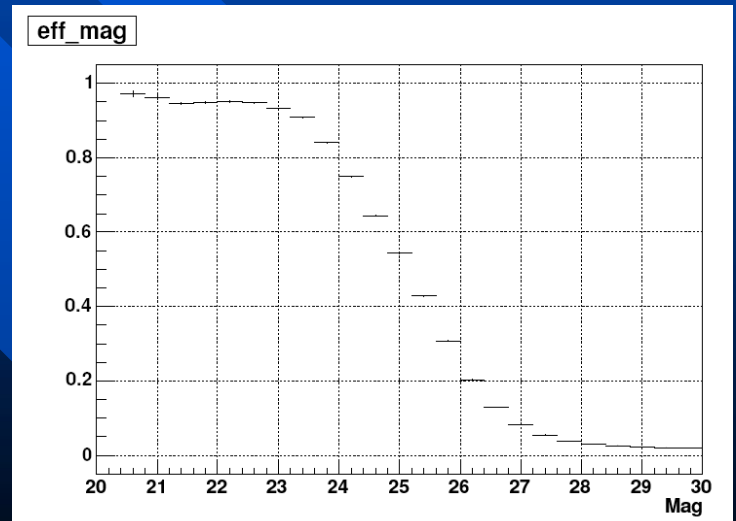
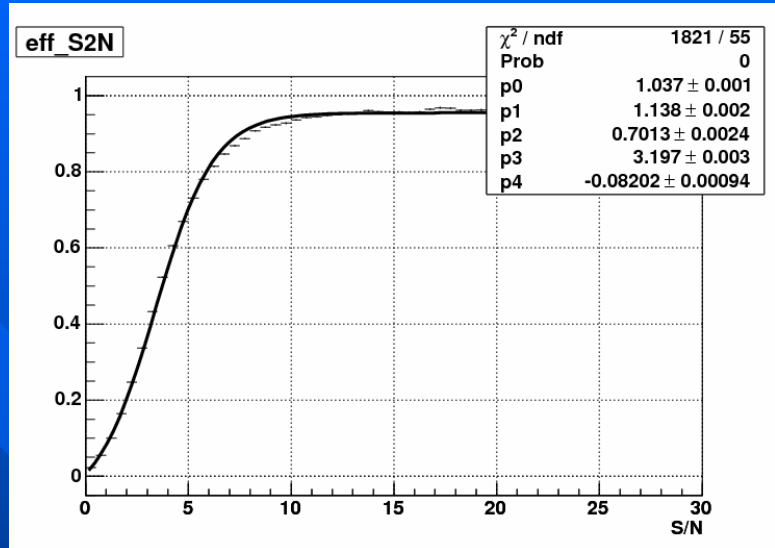
point détecté  $\Leftrightarrow$   
distance à la détection la plus proche < 3.0 pixels

Efficacité globale :

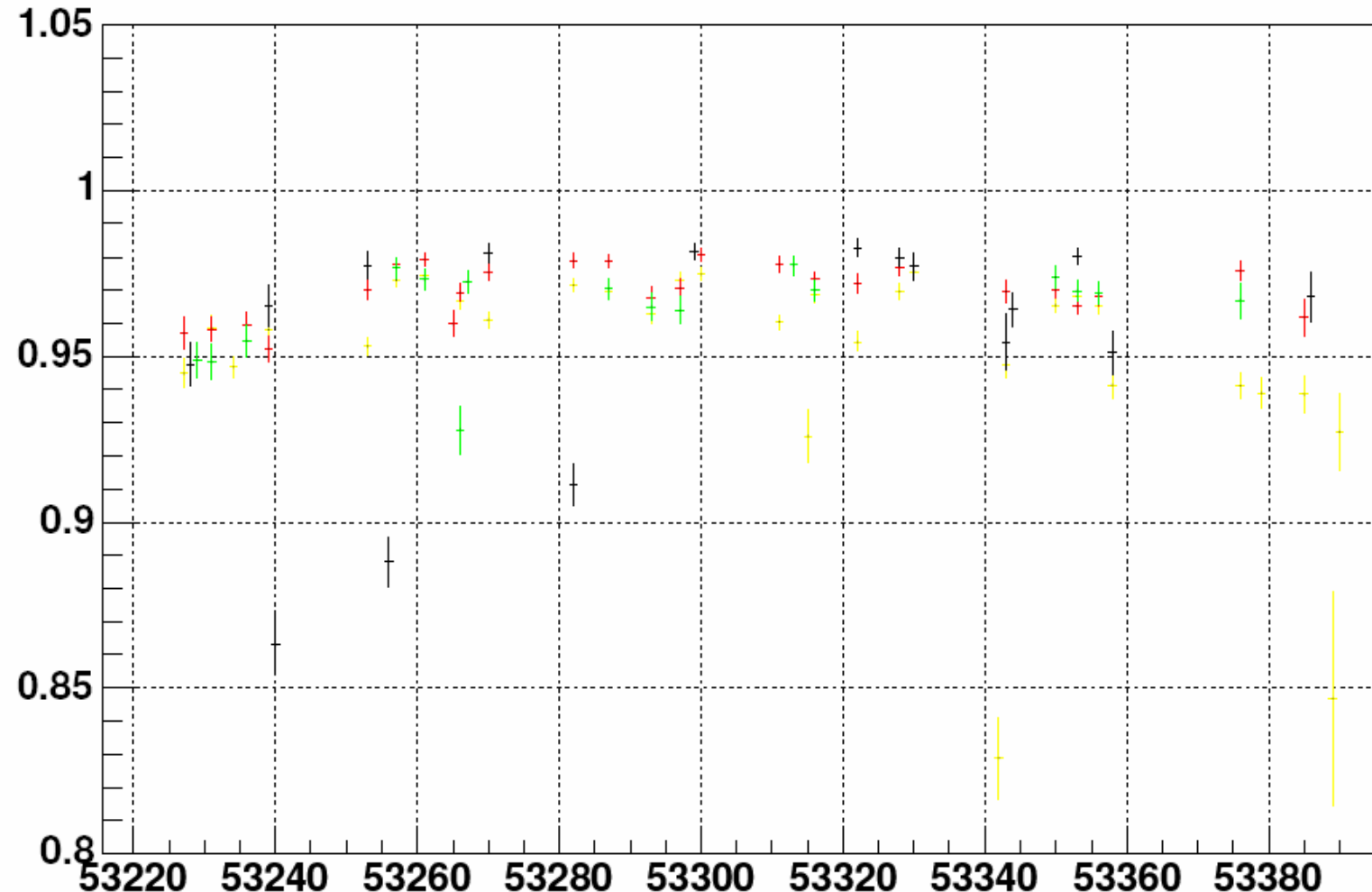
- 50% d'efficacité : S/N = 3.73
- Efficacité maximale : 95.5 %

Les points non-retournés à grand S/N:

- Masque
- Bord de CCD ( mais retrouvé dans le CCD adjacent)



## Efficiency ( $S/N > 10.0$ )



Julian date

Toutes les efficacités en-dessous de 94% correspondent à des époques de mauvais temps ou à un faible nombre d'images

# Efficacité de détection des SN

## Outils de sélection : ACE

- Matching des détections sur toutes les époques
- Réseaux de neurone et Shapelets pour détecter les résidus de soustraction

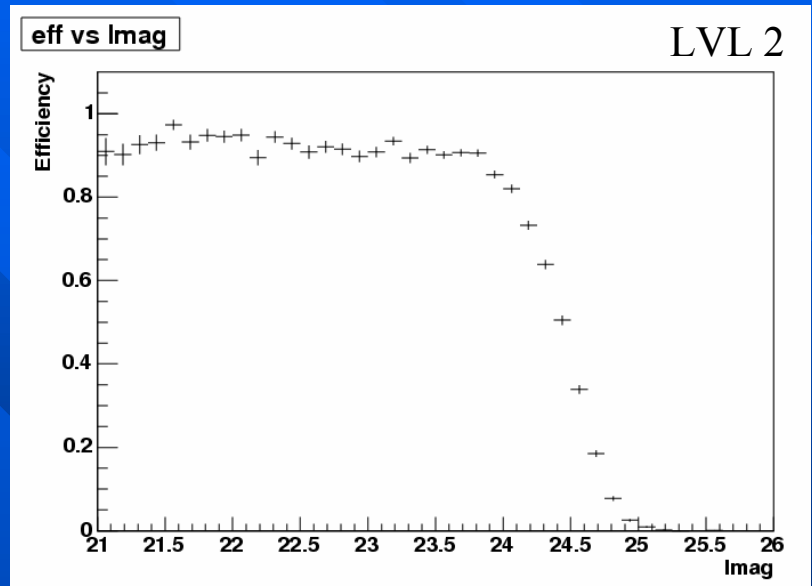
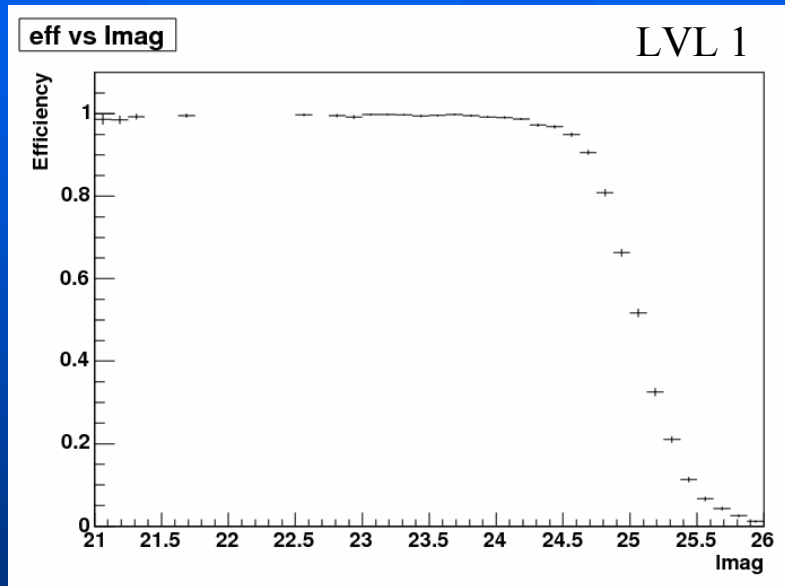
### ■ Lvl 1 sélection : sélection des objets variables

- Plus de 3 détections
- Au moins 1 détection avec  $S/N > 5$

### ■ Lvl 2 sélection : sélection des supernovae Ia

- Fit de courbe de lumière
- Magnitude min : 24,5

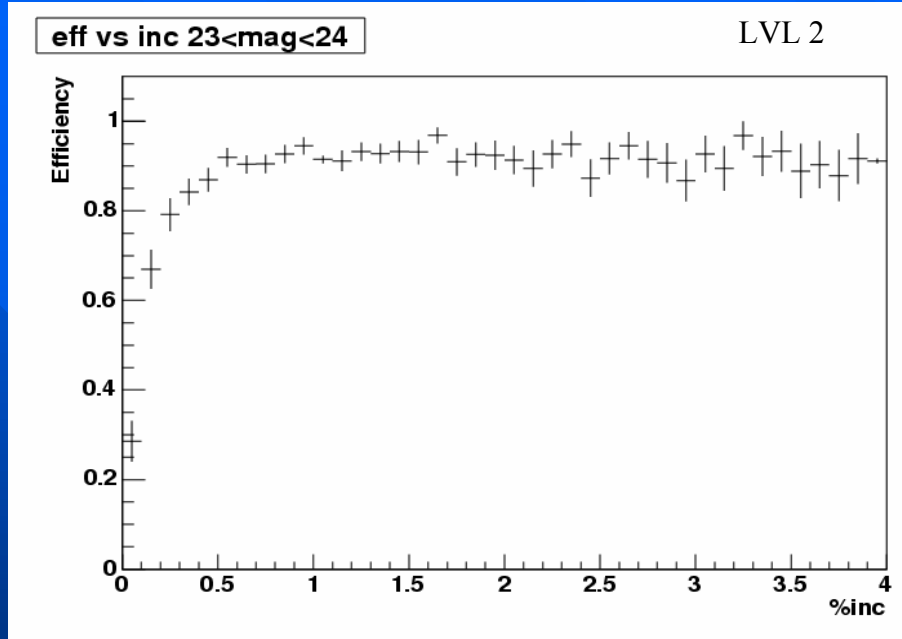
# Efficacité Vs i Magnitude



Efficacité vs Imag

La Magnitude max est le paramètre principal de déetectabilité

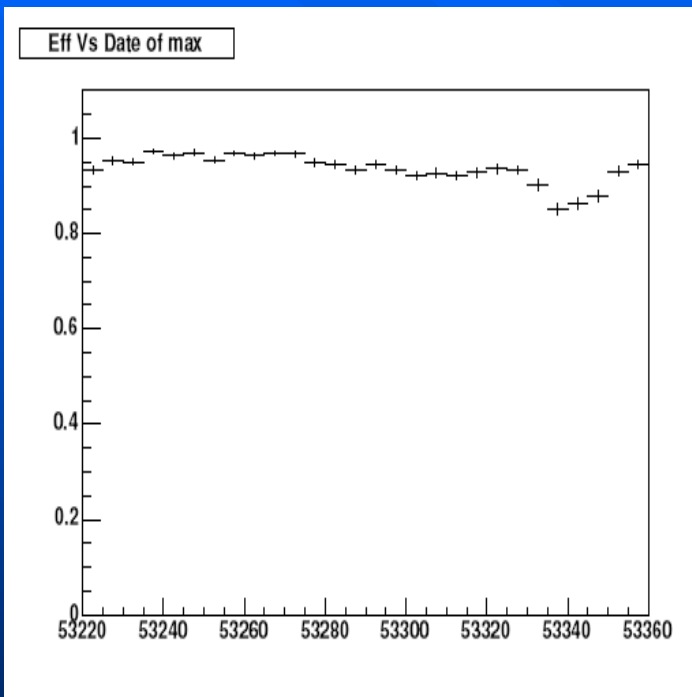
# Efficacité Vs %Inc



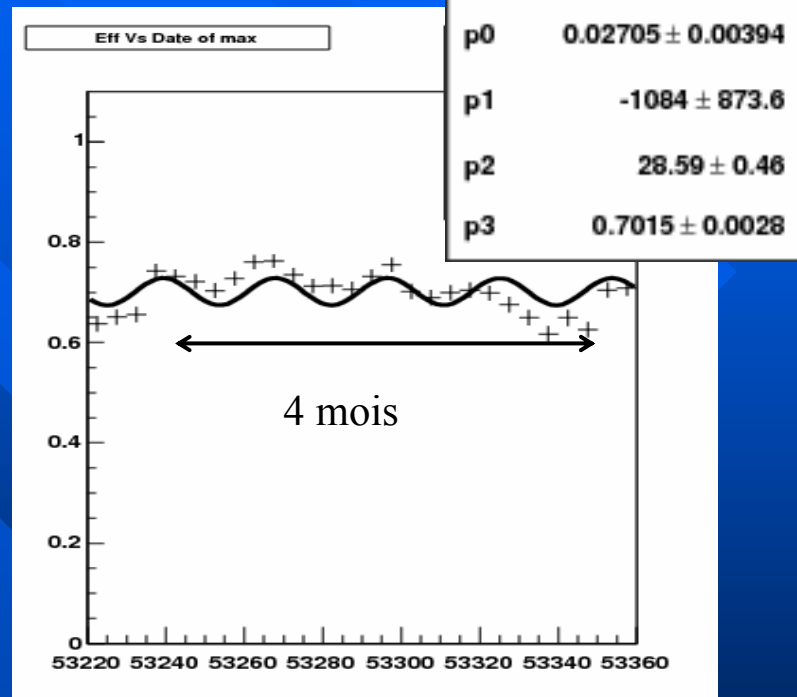
$\%Inc = \text{flux max } i' / \text{background flux}$

$\%inc$  est le paramètre secondaire de détectabilité

# Efficacité Vs Date du Max



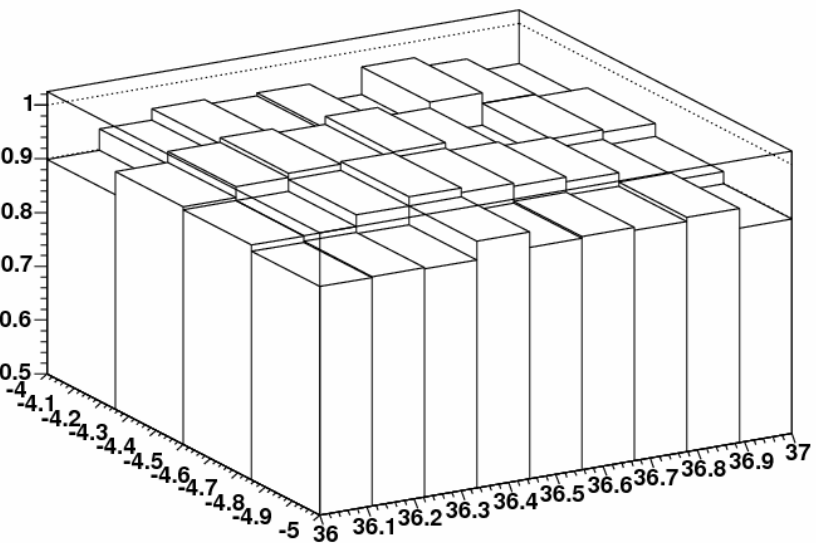
Stat : mag < 25.0  
Cut : Lvl 1



Stat : mag < 25.0  
Cut : Lvl 2

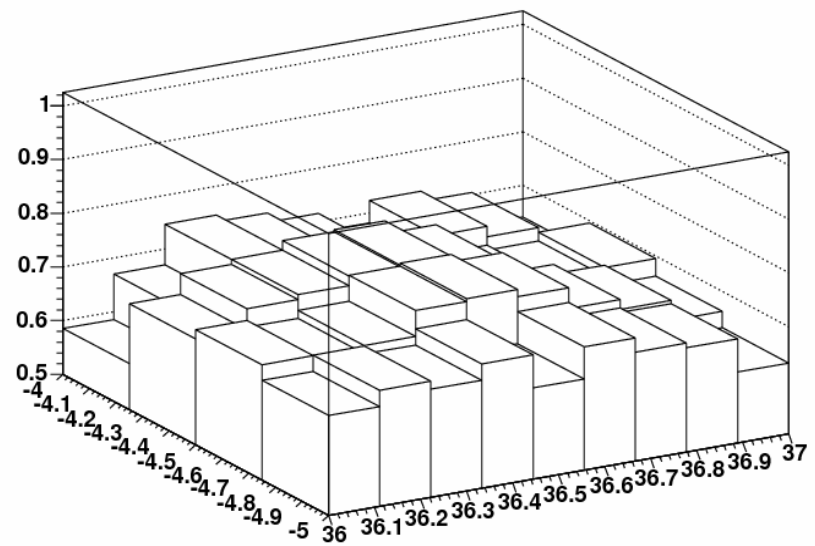
# Efficacité Vs ccds

eff\_ccd



Stat : mag < 25.0  
Sélection : Lvl 1

eff\_ccd



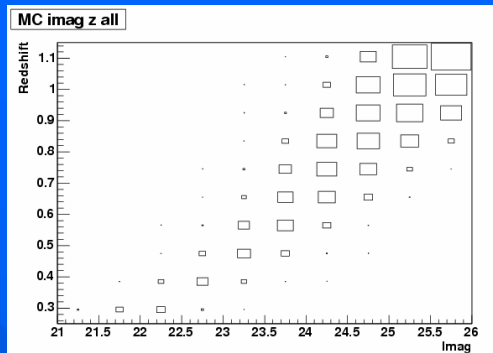
Stat : mag < 25.0  
Sélection : Lvl 2

# Taux : résultats préliminaires

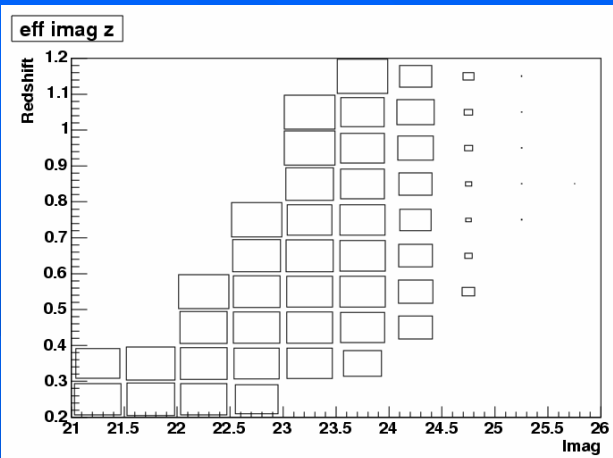
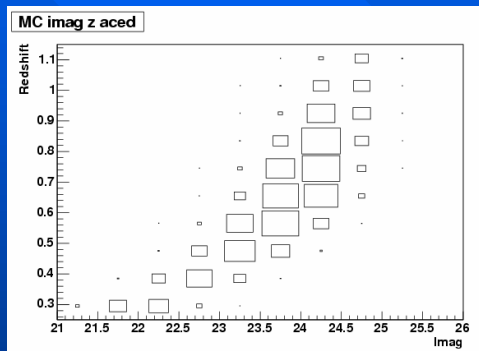
- DATA : D1 D2 D4 season 2
- Efficacité calculée avec 210 000 SN simulées + ace LVL2
- Sélection des vrais candidats sur les soustractions reprocessées + ace LVL2
- Catalogue photoZ pour la mesure du redshift des vrais SN
- Estimation grossière de la contamination

# Z vs Imag

MC ALL

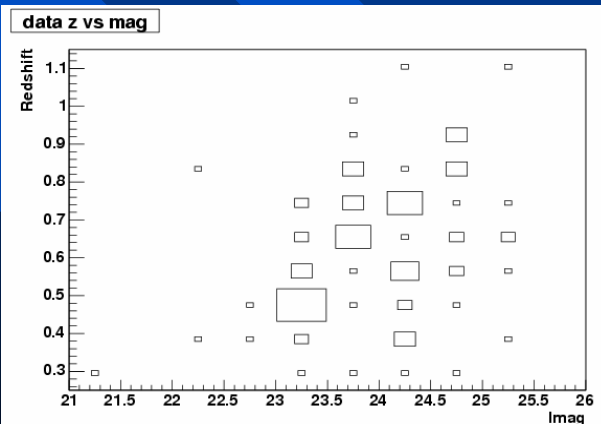


MC LVL2

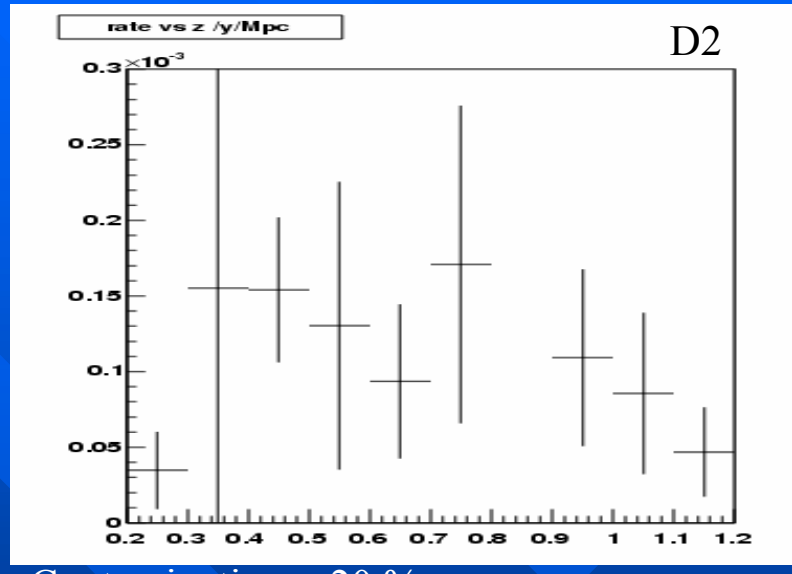
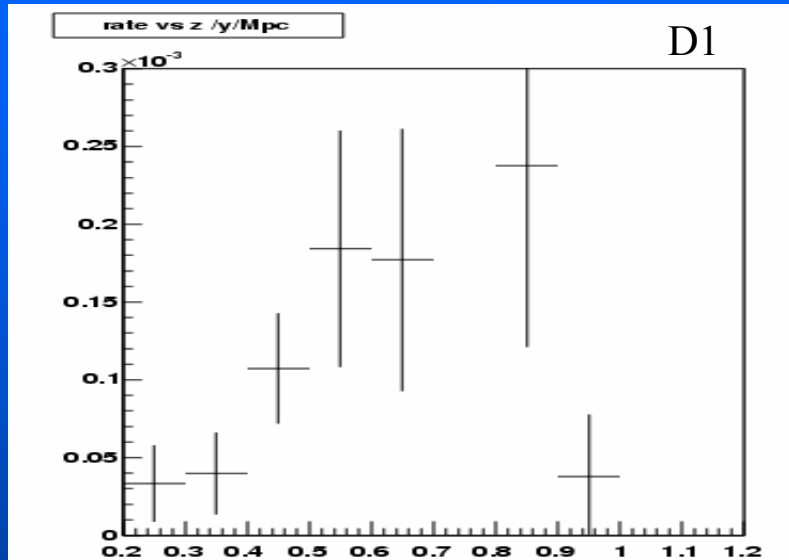


Efficacité

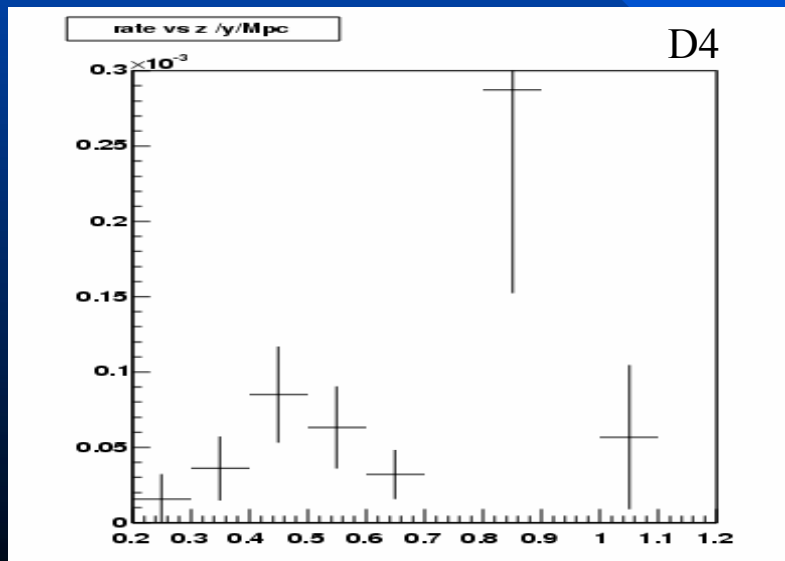
Data LVL2



# Rate Vs Z

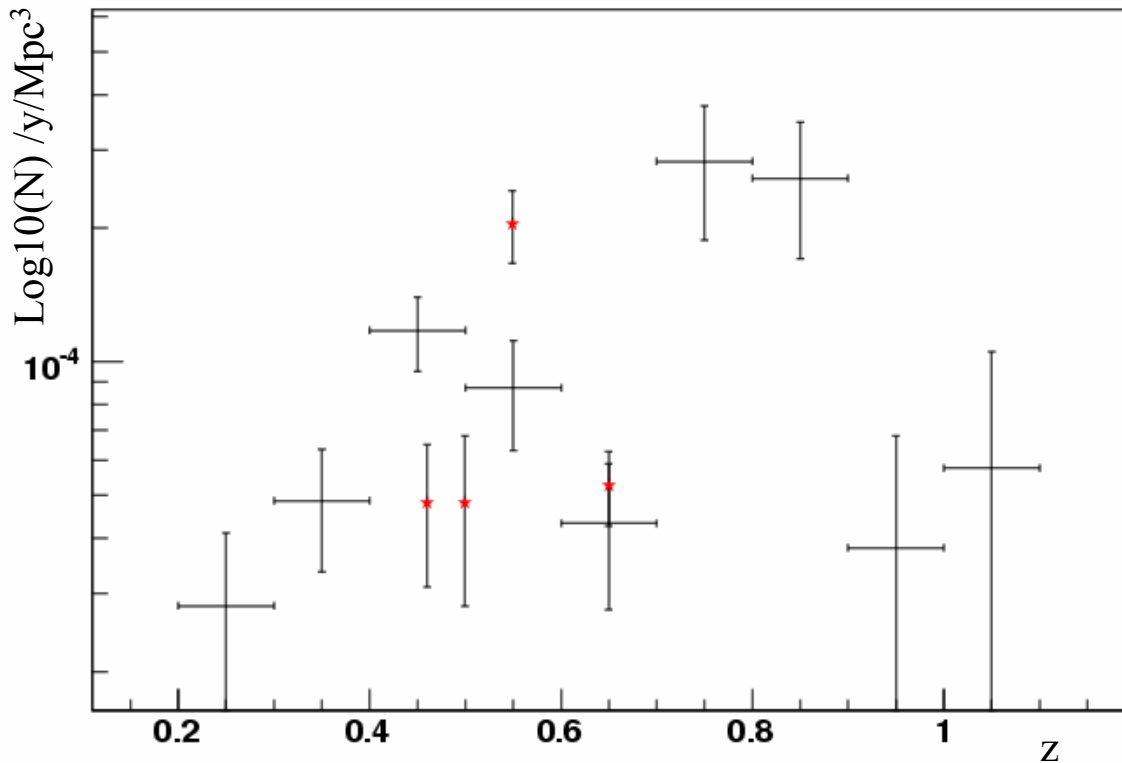


Contamination = 20 %



Taux d'explosion de supernovae de type Ia par an et par Mpc<sup>3</sup> (volume comobile)

## Rate Vs z /y/Mpc<sup>3</sup>



Les résultats antérieurs :

Tonry et Al. 2003

Pain et Al. 2003

Barris et Tonry 2005

Neill et Al 2006

- Besoin de plus de statistique : 3 champ-saisons  $\rightarrow$  12 champ-saisons
- Premiers résultats très prometteurs
- Calcul des systématiques

Papier en préparation!

# Biais de Sélection

Les problèmes :

- Evolution de la chaîne de détection
- Le facteur humain : la sélection des objets spectrés
- Les objets sous et sur lumineux
- Efficacité

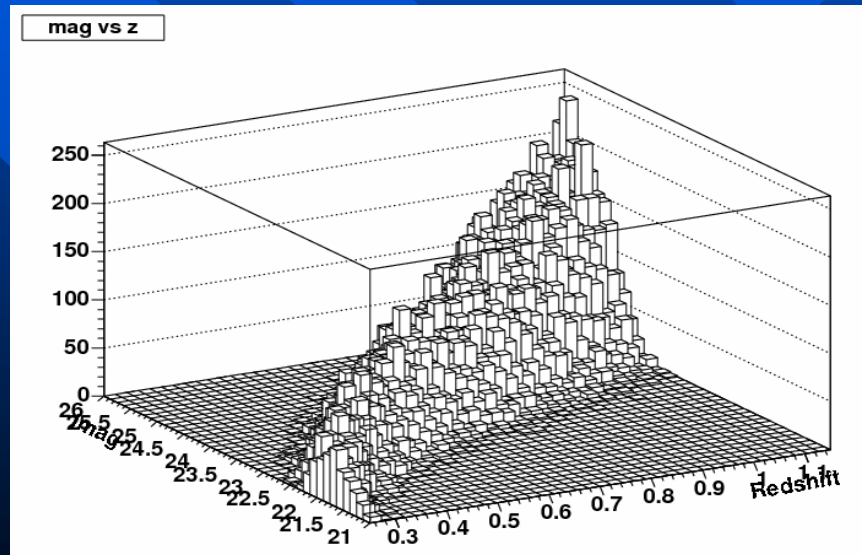
Les solutions :

- Reprocessing complet et homogène des images
- Simulation correspondante
- Sélection 100% automatisée des candidats
- Une parfaite connaissance de l'efficacité de sélection

# Le biais de Malmquist

- Biais sur la cosmologie dû à la limite de détection
- SNLS 1 ans : premières estimations du biais de Malmquist → faible par rapport aux autres systématiques et à l'erreur statistique
- SNLS 3 ans : Meilleur calibration, meilleur statistique  
→ biais de Malmquist non négligeable

Etude en cours!

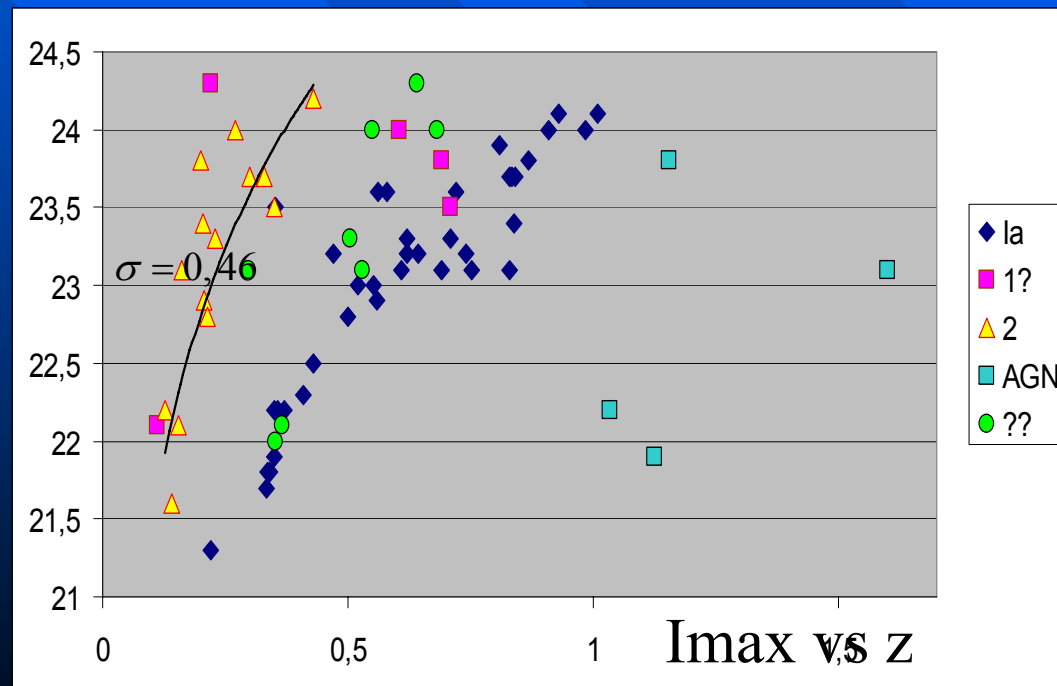


# Contamination

Reprocessing + sélection automatisée

→ Utilisation de Sn non spectrée

→ risque de contamination



# Conclusions

- Simulation globale de la chaîne de détection
  - Outils de production
  - Outils d'analyse
- Chaîne de détection 100% automatique
  - Pour la détection temps réel
  - Pour la simulation
- Outil complet d'analyse de l'efficacité et des biais de sélection

# Conclusions

- Nouvelle production MC en cours
  - 3 ans de données
  - 864 000 sn simulées
- Mesure du Taux : Premiers résultats
  - Encore du travail sur les systématiques
  - Contamination
  - Bientôt un papier!
- Etude du biais de Malmquist en cours